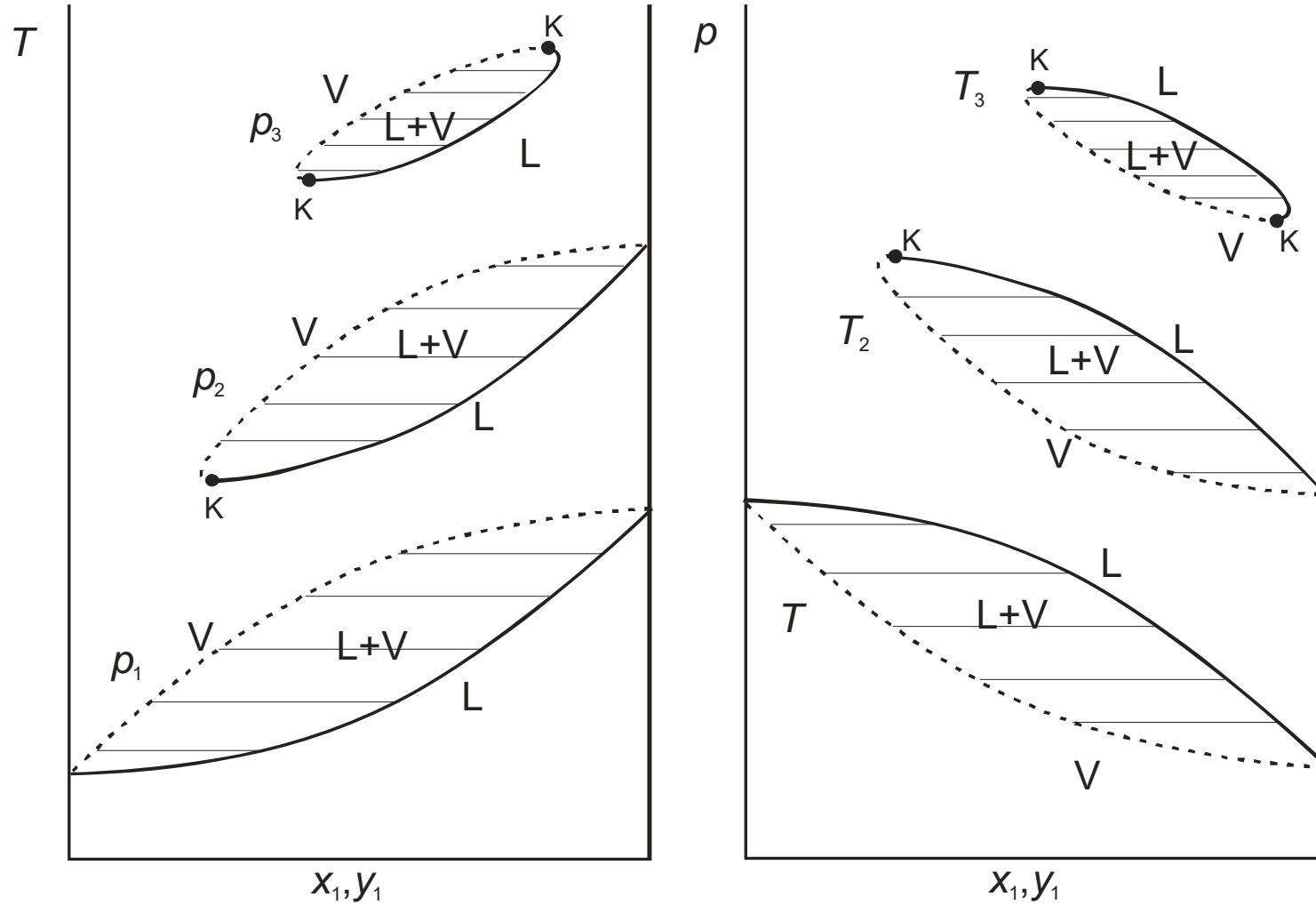
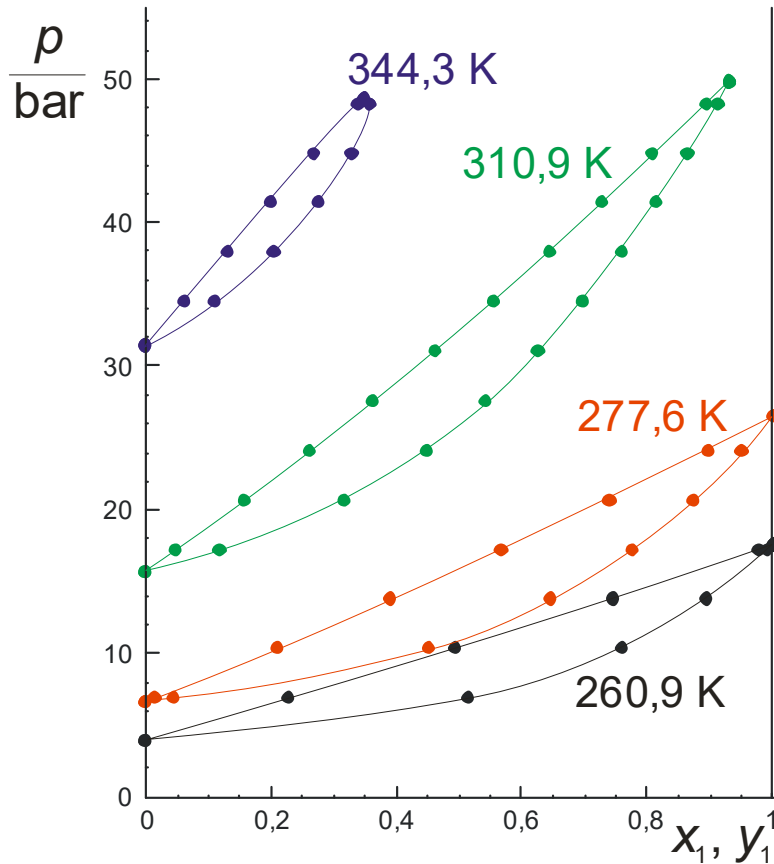


Ravnoteža para-kapljevina 2

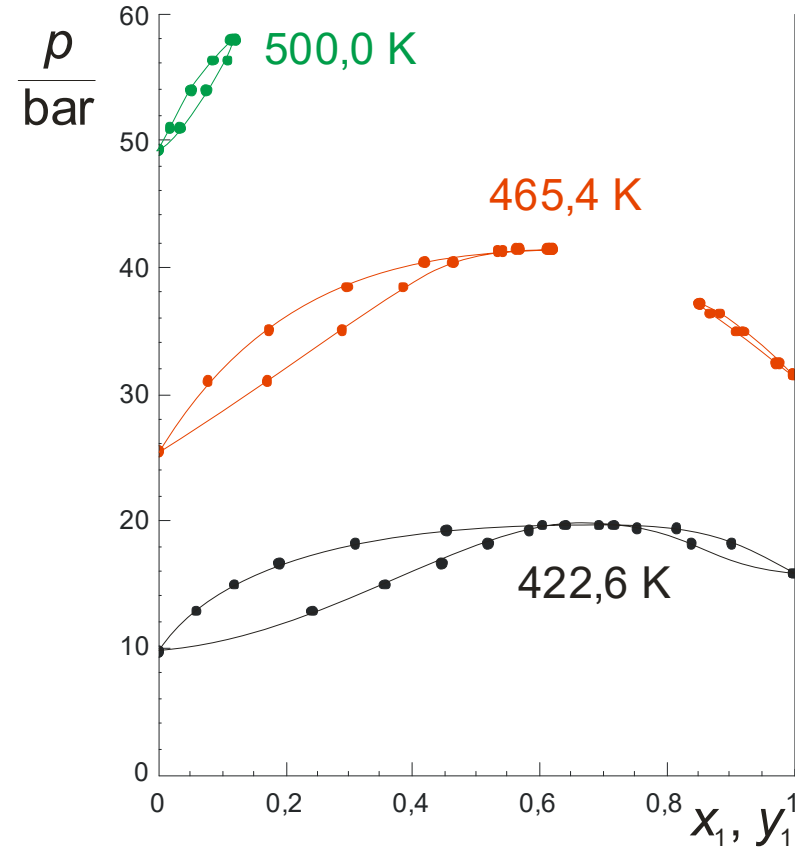
Fazni dijagrami u kritičnom području



Fazni dijagrami u kritičnom području

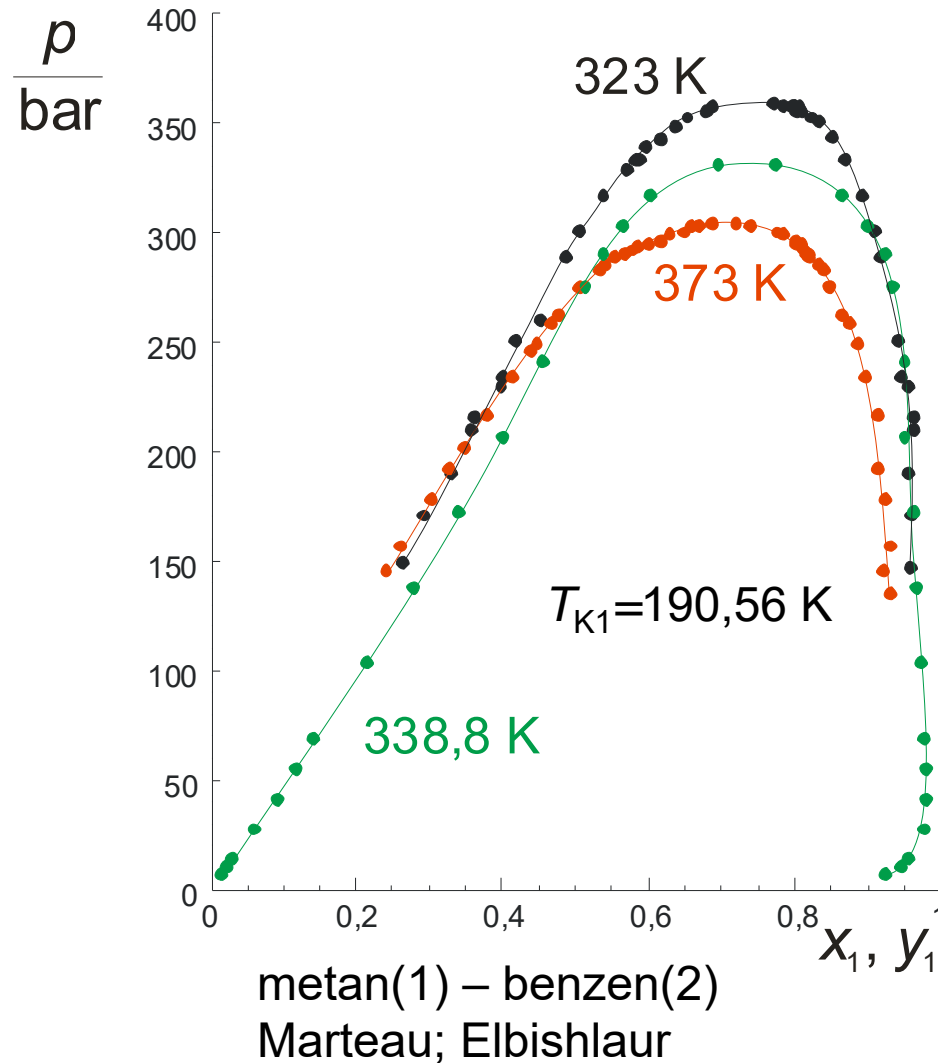


etan(1) – propen(2)
McKay i suradnici



n-pentan(1) – etanol(2)
Seol i suradnici

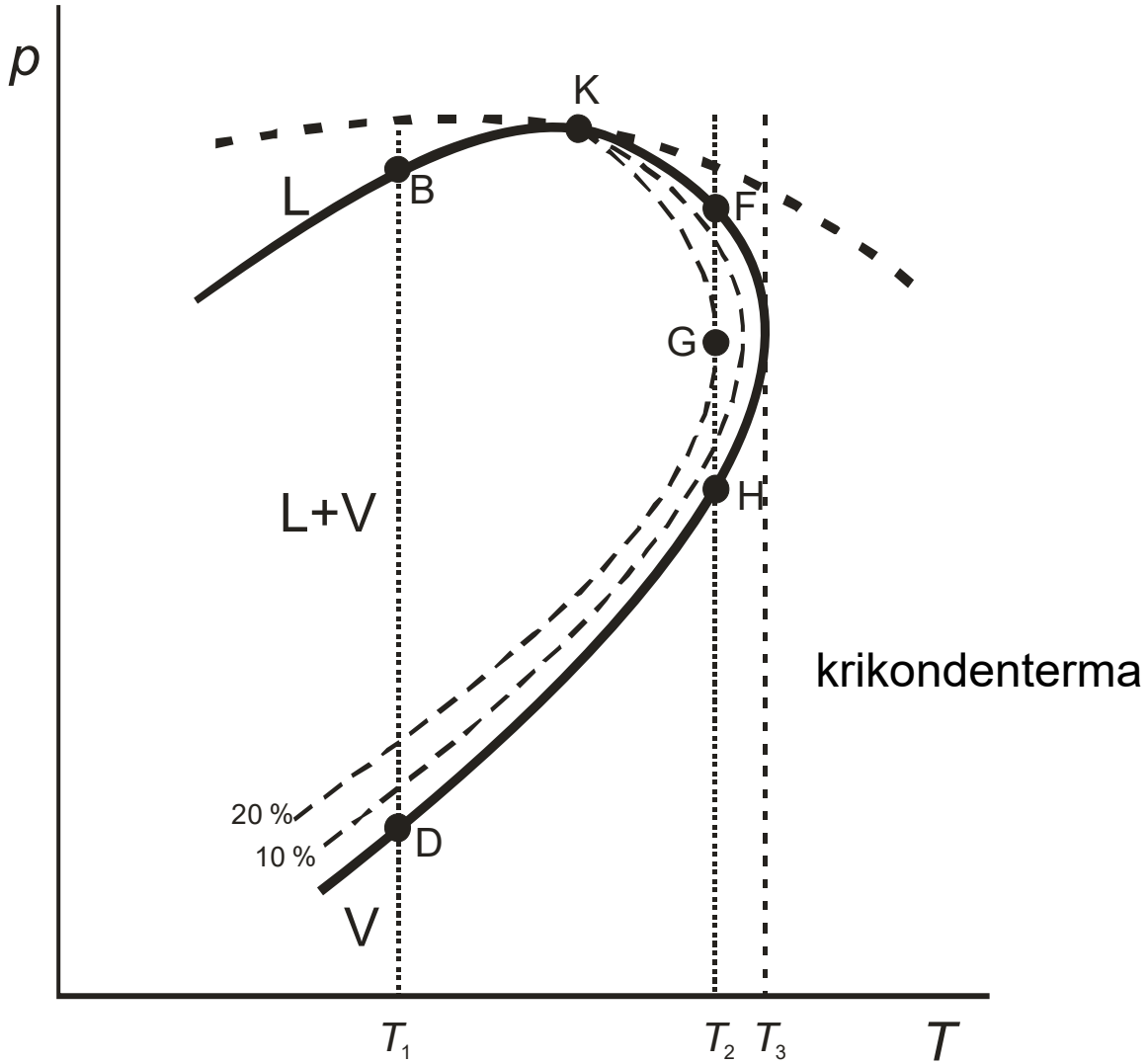
Retrogradna kondenzacija



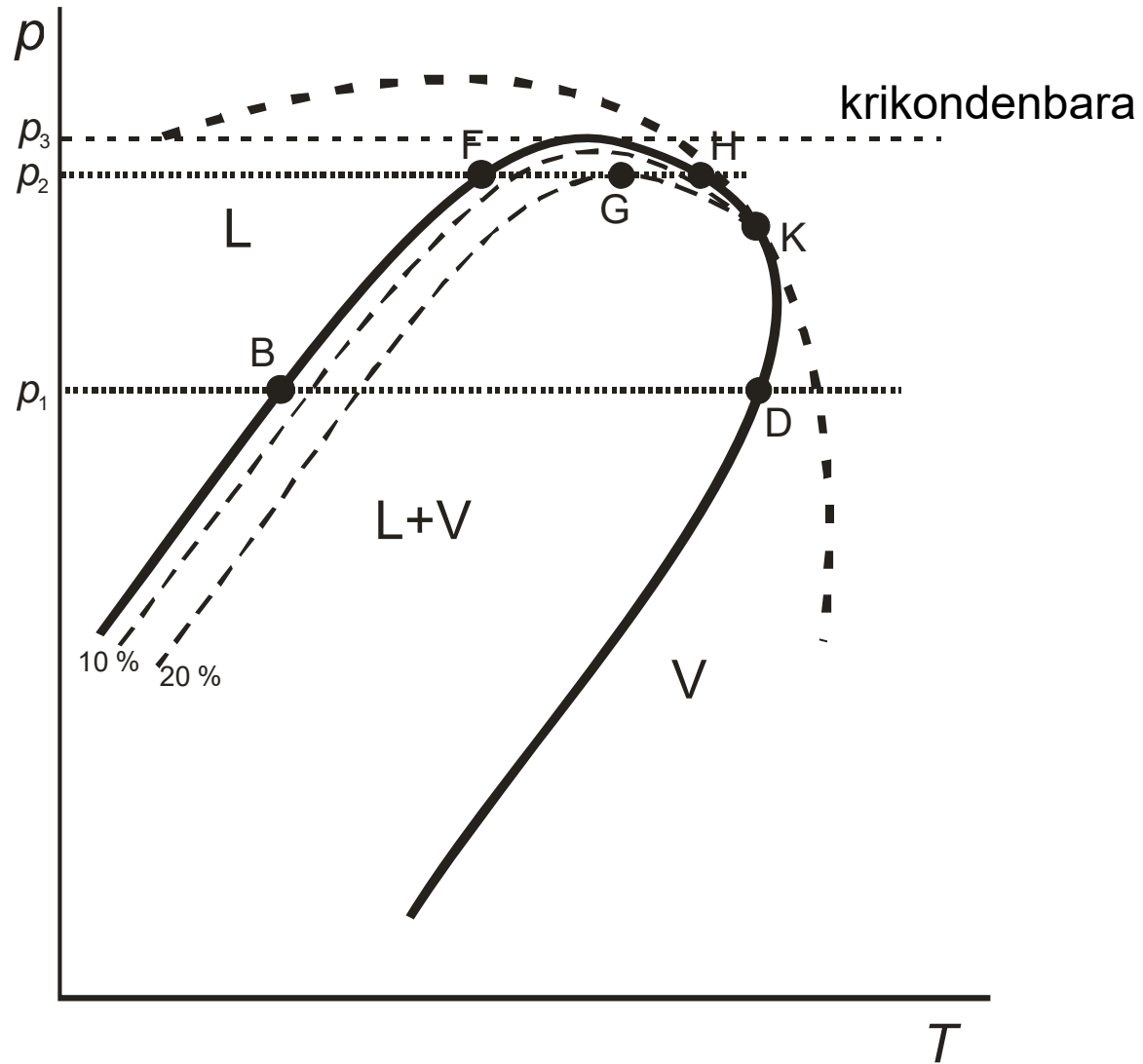
Kritične točke su na
maksimumima krivulja

Za $y_1=0,95$, s povećanjem
tlaka dolazi do
ukapljivanja, a zatim do
isparavanja (zelena
krivulja).

Retrogradna kondenzacija



Retrogradna kondenzacija



Proračun vrelišta

Formulacija $T, x_i \rightarrow p, y_i$

$$-1 + \sum_{i=1}^{nk} y_i = 0 \quad \text{Bilanca za parnu fazu}$$

$$K_i = \frac{y_i}{x_i} = f(p, T, x_i, y_i) \quad \text{Ravnotežne jednačbe}$$

$$-1 + \sum_{i=1}^{nk} K_i x_i = 0 \quad \text{Kombinacija}$$

$$K_i = \frac{\hat{\varphi}_i^L}{\hat{\varphi}_i^V} \quad \text{Koficijent raspodjele}$$

Proračun jednokratnog isparavanja

Formulacija $p, T, z_i \rightarrow x_i, y_i, \Psi$

Bilančne jednačbe za komponente

$$\sum_{i=1}^{nk} y_i - \sum_{i=1}^{nk} x_i = 0 \quad \text{Rachford-Riceov bilančni uvjet}$$

$$z_i = (1 - \Psi)x_i + \Psi y_i$$

$$K_i = \frac{y_i}{x_i} = f(p, T, x_i, y_i) \quad \text{Ravnotežne jednačbe}$$

$$f(\Psi) = \sum_{i=1}^{nk} \frac{z_i (K_i - 1)}{1 + \Psi (K_i - 1)} = 0 \quad \text{Kombinacija}$$

$$K_i = \frac{\hat{\phi}_i^L}{\hat{\phi}_i^V}$$

Koeficijent raspodjele

Topljivost plinova u kapljevina

Apsorpcija

Slučaj 1: Smjese jednostavna ponašanja u kapljevitoj fazi

$$y_i p \hat{\phi}_i^V = x_i p \hat{\phi}_i^L$$

$$K_i = \frac{y_i}{x_i} = \frac{\hat{\phi}_i^L}{\hat{\phi}_i^V}$$

npr. topljivost metana u heksanu

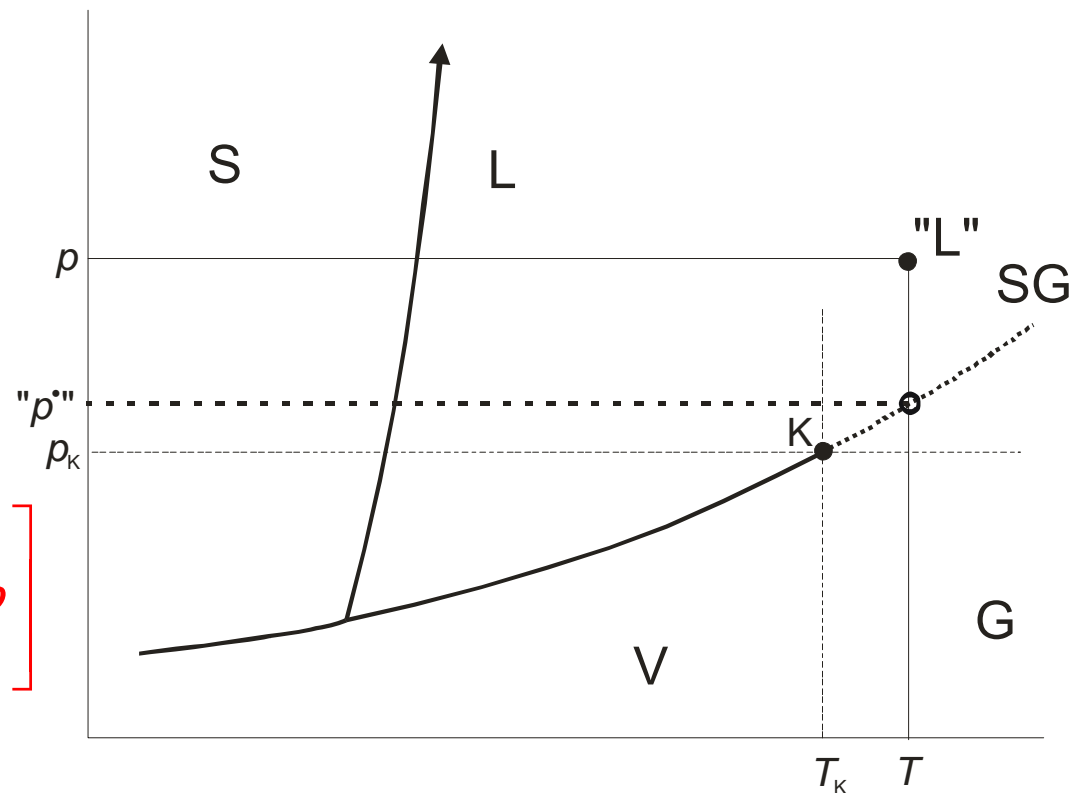
Topljivost plinova u kapljevina

Slučaj 2: Ekstrapolacijski postupak

$$y_1 p \hat{\phi}_1^V = x_1 \gamma_1^L f_1^{L \circ}$$

$$f_1^{L \circ} = p_1^{\circ} \phi_1^{\circ} \exp \left[\int_{p_1^{\circ}}^p \frac{v_1^L}{RT} dp \right]$$

$$K_1 = \frac{y_1}{x_1} = \frac{\gamma_1^L p_1^{\circ} \phi_1^{\circ}}{p \hat{\phi}_1^V} \exp \left[\int_{p_1^{\circ}}^p \frac{v_1^L}{RT} dp \right]$$

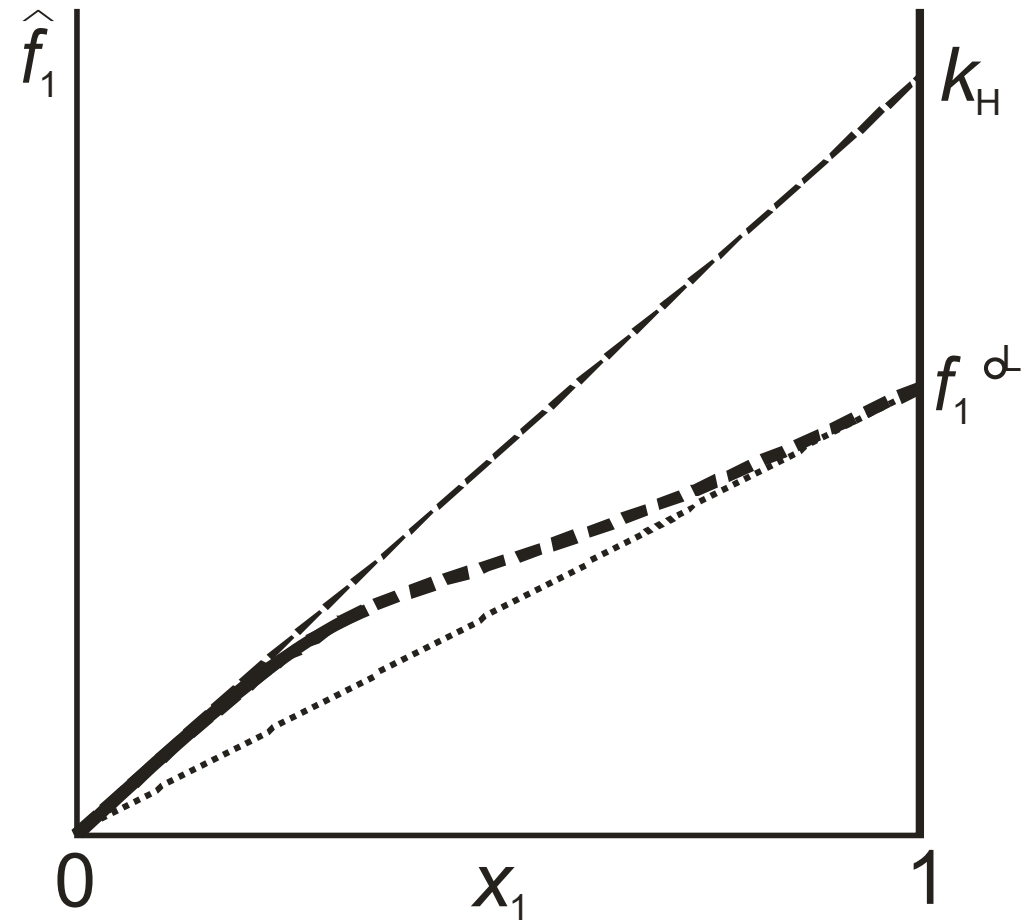


Topljivost plinova u kapljevina

Slučaj 3: Asimetrična definicija standardnog stanja

$$y_1 p \hat{\phi}_1^V = x_1 \gamma_{H1} k_H$$

$$K_1 = \frac{y_1}{x_1} = \frac{\gamma_{H1} k_H}{p \hat{\phi}_1^V}$$



Topljivost plinova u kapljevina

Slučaj 4: Grafička korelacija Prausnitza i Shaira

$$y_1 p \hat{\phi}_1^V = x_1 \gamma_1^L f_1^{L^\circ} \quad K_1 = \frac{y_1}{x_1} = \frac{\gamma_1^L}{p \hat{\phi}_1^V} f_1^L(T, p_0 = 1 \text{ atm}) \exp \left[\frac{v_1^L (p - p_0)}{RT} \right]$$

$$f_1^{L^\circ}(T, p) = f_1^L(T, p_0 = 1 \text{ atm}) \exp \left[\int_{p_0}^p \frac{v_1^L}{RT} dp \right] \approx \\ \approx f_1^L(T, p_0 = 1 \text{ atm}) \exp \left[\frac{v_1^L (p - p_0)}{RT} \right]$$

Hipotetska standardna fugacitivnost ukapljenog plina

Hipotetski molarni volumen ukapljenog plina

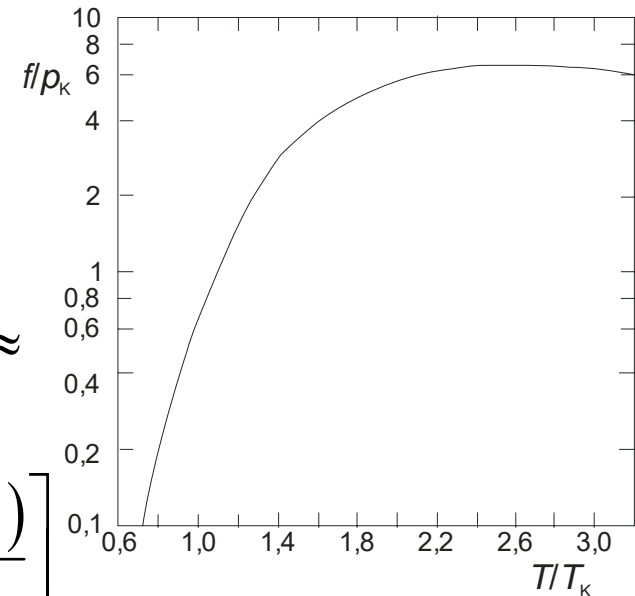
Topljivost plinova u kapljevina

Slučaj 4: Grafička korelacija Prausnitza i Shaira

$$y_1 p \hat{\phi}_1^V = x_1 \gamma_1^L f_1^{L^\circ}$$

$$f_1^{L^\circ}(T, p) = f_1^L(T, p_0 = 1 \text{ atm}) \exp \left[\int_{p_0}^p \frac{v_1^L}{RT} dp \right] \approx$$

$$\approx f_1^L(T, p_0 = 1 \text{ atm}) \exp \left[\frac{v_1^L (p - p_0)}{RT} \right]$$



Hipotetska standardna fugacitivnost ukapljenog plina

Hipotetski molarni volumen ukapljenog plina

Model koeficijenta aktivnosti

$$\ln \gamma_1 = \frac{v_1^L \phi_2^2}{RT} (\delta_1 - \delta_2)^2 \quad \ln \gamma_1 = \frac{v_1^L}{RT} (\delta_1 - \bar{\delta})^2$$

plin	$v^L / (\text{cm}^3 \text{mol}^{-1})$	$\delta / \text{MPa}^{1/2}$
N ₂	32,4	5,28
CO	32,1	6,40
O ₂	33,0	8,18
Ar	57,1	10,9
CH ₄	52	11,6